

**Research Paper**

# **Investigation of Electronic and Structure Properties of $MgB_2$ Superconductor by Ab-initio Method<sup>1</sup>**

**Hamdollah Salehi<sup>\*2</sup> and Ali Ahmadi<sup>3</sup>**

Received: 2020.03.08

Revised: 2020.09.10

Accepted: 2020.10.21

## **Abstract**

The structural of  $MgB_2$  such as lattice constant, volume modulus, volume modulus derivative and compressibility of different degrees have been calculated. The calculations have been performed using a Full Potential-Linearized Augmented Plane Wave (FP-LAPW) method in the framework of Density Functional Theory (DFT) with various Approximation. The results show that the linear compressibility in direction of c is about twice the compressibility in direction of a. In addition, the electronic properties of the compound, including the structure of the energy bands, the density of the states, and the types of bonds in the  $MgB_2$  Superconductivity have been studied. The results of a double degeneracy above the Fermi level show that it plays an important role in the superconducting property. According to energy bands, it has been determined that the lattice parameters have a large effect on the  $\sigma$  band of boron atoms. The results predict that the constant increase of the lattice along the c-axis has an increase in the density of states at the Fermi level. The results express this fact that the calculation using by GGA has the better agreements with the other theoretical and experimental approximations.

**Keywords:**  $MgB_2$ , FP-LAPW, Density Functional Theory, GGA, Bulk Module, Density of State, Band Gap.

---

<sup>1</sup> DOI: 10.22051/IJAP.2021.30623.1158

<sup>2</sup> Associate Professor, Department of Physics, Faculty of Science, Shahid Chamran University of Ahvaz, Ahvaz, Iran. (Corresponding Author). Email: salehi\_h@scu.ac.ir

<sup>3</sup> M. Sc. Graduated, Department of Physics, Faculty of Science, Shahid Chamran University of Ahvaz, Ahvaz, Iran. Email: salehahamid@yahoo.com

فصلنامه علمی فیزیک کاربردی ایران، دانشگاه الزهرا

سال یازدهم، پیاپی ۲۵، تابستان ۱۴۰۰

صص ۵۸-۶۹

مقاله پژوهشی

## بررسی ابتدا به ساکن ویژگی های الکترونی و ساختاری $MgB_2$ ابررسانای<sup>۱</sup>

حمدالله صالحی\*<sup>۲</sup> و علی احمدی<sup>۳</sup>

تاریخ دریافت: ۱۳۹۸/۱۲/۱۸

تاریخ بازنگری: ۱۳۹۹/۰۶/۲۰

تاریخ پذیرش: ۱۳۹۹/۰۷/۳۰

### چکیده

در این مقاله ویژگی های ساختاری ترکیب از جمله ثابت شبکه، مدول حجمی، مشتق مدول حجمی و تراکم پذیری درجهت های مختلف محاسبه شده است. محاسبات با استفاده از روش امواج تحت بهبود یافته خطی با پتانسیل کامل در چارچوب نظریه تابعی چگالی و با تقریب های مختلف انجام گرفته است. نتایج ییانگر آن است که تراکم پذیری خطی در راستای C حدود دو برابر تراکم پذیری در راستای a است.علاوه بر این، ویژگی های الکترونی ترکیب از جمله ساختار نواهای انرژی، چگالی حالت ها و نوع پیوندها در ابررسانای  $MgB_2$  مطالعه شده است. نتایج یک تبهگنی دوگانه در بالای تراز فرمی را نشان می دهد که نقش مهمی در خاصیت ابررسانایی بازی می کند. با توجه به نواهای انرژی مشخص شده که پارامترهای شبکه اثر بزرگی در نوار ۵ اتم بور دارند. نتایج پیش بینی می کنند که افزایش ثابت شبکه در طول محور C، افزایش چگالی حالت ها را در تراز فرمی در بی دارد. نتایج ییانگر آن است که

<sup>۱</sup> DOI: 10.22051/IJAP.2021.30623.1158

<sup>۲</sup> دانشیار، گروه فیزیک، دانشکده علوم، دانشگاه شهید چمران اهواز، اهواز، ایران. (نویسنده مسئول). Email: salehi\_h@scu.ac.ir

<sup>۳</sup> دانش آموخته کارشناسی ارشد، گروه فیزیک، دانشکده علوم، دانشگاه شهید چمران اهواز، اهواز، ایران.

Email: salehahamid@yahoo.com

محاسبات با استفاده از تقریب شیب تعیین‌یافته نسبت به بقیه تقریب‌ها سازگاری بهتری با نتایج تجربی و نظری به دست آمده از روش‌های دیگر دارد.

**واژگان کلیدی:**  $GGA$ ,  $FP-LAPW$ ,  $MgB_2$ , نظریه تابعی چگالی، مدول حجمی، گاف نواری، چگالی حالت‌ها.

## ۱. مقدمه

کشف خاصیت ابررسانایی در  $MgB_2$  با دمای گذار  $39\text{ K}$  سرآغاز پژوهش‌های تجربی و نظری در دیبورایدهای دیگر شد و توجه بسیاری از پژوهشگران را به بررسی خواص الکترونی و گرمایی و اپتیکی آن جلب کرد [۱]. دمای گذار بالای  $MgB_2$  امیدواری‌های فراوانی برای یافتن ابررسانایی در دیبورایدهای دیگر با دمای گذار بالا ایجاد کرد.  $MgB_2$  دارای ساختاری از نوع  $AlB_2$  با گروه فضایی  $P_6/mmm$  است [۲]. در این مقاله، ساختار الکترونی و ساختار نوارهای  $Mg$  از جمله اتم‌های  $MgB_2$  محاسبه شده است. در ساختار  $MgB_2$  اثری و چگالی حالت‌های ابررسانایی  $MgB_2$  می‌تواند باشد [۳]. در این مقاله، ساختار لایه‌ای شیوه گرافیت دارد. چندین سازوکار برای توجیه  $T_c$  بالا در ابررسانای  $MgB_2$  و مشابه آن وجود دارد که یکی از آن‌ها بر مبنای ساختار نوارهای اثری است [۴]، که پیشنهاد می‌کند، حالت ابررسانایی، نتیجه‌ای از برهم‌کنش قوی الکترون‌فونون و بسامدهای قوی فونون نسبت به اتم بور بدون بار است. همچنین می‌توان برای اطلاعات بیشتر در این باره به مراجع [۵-۶] مراجعه کرد. لذا در این مقاله، پیزگی‌های الکترونی و ساختاری در ابررسانای  $MgB_2$  با استفاده از روش ابتداپساقن محاسبه می‌شود و برخی موارد محاسبات از جمله مدول حجمی، مشتق مدول حجمی، تراکم پذیری کلی و خطی، تجزیه بارها و اثر فشار برای اولین بار است که در اینجا محاسبه شده است.

## ۲. روش محاسبات

محاسبات با استفاده از روش امواج تخت بهبود یافته خطی با پتانسیل کامل در چارچوب نظریه تابعی چگالی با تقریب شیب تعیین‌یافته و نرم‌افزار  $Wien2k$  انجام شد [۱۰، ۱۱]. ثابت‌های شبکه که به صورت تجربی اندازه‌گیری شده است، برابر است با  $a=3.084\text{\AA}$  و  $c=3.522\text{\AA}$  که در محاسبات از آن‌ها استفاده کردایم [۲]. دیگر پارامترها به صورت  $R_{MT}(\text{Mg})=1.8a.u$  و  $R_{MT}(\text{B})=1.5a.u$  است، شاعر کره‌های مافین -تین با توجه به طول پیوند آن‌ها انتخاب شده است. پارامتر همگرایی  $RK_{max}=7$  در نظر گرفته شده است، این پارامتر اندازه اتم‌های پایه را در محاسبات تنظیم می‌کند. این محاسبات بر

اساس محاسبات ساختار الکترونی به دست آمده از نظریه تابعی چگالی است. برای جداسازی الکترون‌های ظرفیت از مغزه، انرژی جدایی بین الکترون‌های ظرفیت و مغزه ۶-ریدبرگ در نظر گرفته شده است. رفتار الکترون در حالت مغزه کاملاً نسبیتی و در حالت ظرفیت و شبیه مغزه غیرنسبیتی فرض شده است، که در این حالت از برهمکنش اسپین مدار صرف نظر می‌شود. برای محاسبه ویژگی‌های ساختاری ترکیب از تقریب‌های مختلف برای محاسبه پتانسیل تبادلی همبستگی استفاده شده است. نتایج نشان می‌دهد که روش GGA96 نسبت به سایر روش‌ها به نتایج تجربی و نظری دیگران نزدیک‌تر است. رفتار الکترون در حالت‌های مغزه کاملاً نسبیتی و در حالت‌های ظرفیت و شبیه مغزه غیرنسبیتی فرض شده است که در این حالت از برهمکنش اسپین مدار صرف نظر می‌شود.

### ۳. نتایج

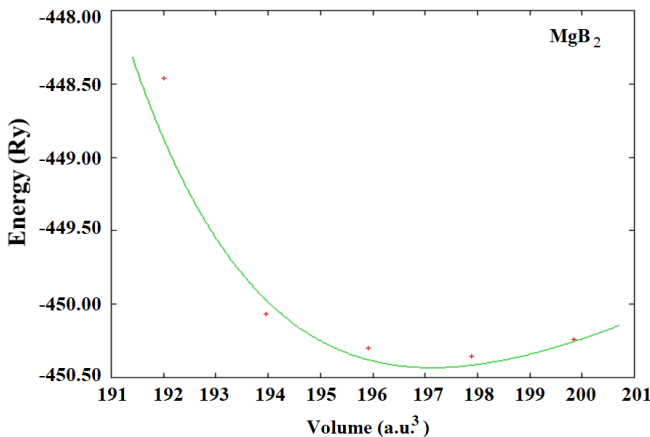
#### الف. ساختار الکترونی $MgB_2$

برای محاسبه خواص ساختاری ترکیب، پس از انجام محاسبات خودسازگار انرژی، یاخته واحد ترکیب را به ازای حجم‌های مختلف حول حجم تعادلی اش وردش و محاسبات را انجام داده‌ایم. پس از انجام محاسبات نمودار انرژی بر حسب حجم رسم شده است، که یکی از این نمودار در شکل (۱) آمده است. تغییرات انرژی بر حسب حجم از طریق معادله حالت مورناگون به دست می‌آید. این معادله به صورت زیر است [۵، ۷، ۱۲]:

$$E(V) = E_0 + \frac{BV_0}{B'} \left[ \frac{V}{V_0} + \frac{\left( V/V_0 \right)^{1-B'} - B'}{B' - 1} \right] \quad (1)$$

در این معادله  $B$  مدول حجمی،  $V_0$  حجم یاخته اولیه و  $E_0$  انرژی حالت پایه در دمای صفر و فشار صفر است. در این محاسبات، ابتدا وابستگی انرژی به حجم محاسبه و سپس با استفاده از معادله حالت مورناگون برای ساختار هگزاگونال، ثابت‌های شبکه، مدول حجمی، مشتق مدول حجمی نسبت به فشار و تراکم پذیری محاسبه شده است. محاسبات با استفاده از سه نوع تقریب برای پتانسیل تبادلی همبستگی انجام شده است و آن‌ها را با یکدیگر و با نتایج تجربی و نظری دیگران مقایسه کرده‌ایم. نتایج در جدول (۱) آورده شده است. همانطور که در جدول (۱) مشاهده می‌شود، نتایج محاسبات انجام شده به کمک تقریب GGA96 برای پتانسیل تبادلی همبستگی، به نتایج تجربی و نظری نزدیک‌تر است. از این رو در ادامه، محاسبات با تقریب GGA96 را بررسی

می کنیم. حجم تعادلی و انرژی تعادلی و پارامترهای شبکه از طریق کمینه کردن منحنی انرژی بر حسب حجم به دست آمده است.



شکل ۱ نمودار تغییرات انرژی بر حسب حجم یاخته اولیه  $MgB_2$ .

همچنین، در این محاسبات معلوم شد که نزدیک ترین فاصله بین اتمها به نوع تقریب اعمالی برای پتانسیل تبادلی همبستگی وابسته نیست و تنها به ثابت های شبکه وابستگی دارد. پارامتر دیگری که در میزان محاسبات نقش بسیار مهمی دارد شعاع کره مافین-تین است که در انتخاب آن باید دقیق باشد. همچنین، مقدار بار الکتریکی درون کره های مافین-تین برای اتم های تشکیل دهنده  $MgB_2$  مؤید انتخاب بهینه این شعاع است که در جدول های (۲) و (۳) آمده است.

جدول ۱ پارامترهای ساختاری محاسبه شده و مقایسه آن با نتایج دیگران برای ترکیب  $MgB_2$

	FP-LAPW, GGA96	FP-LAPW GGA91	FP-LAPW LDA	تجربی [۱۳, , ۱۴]	نظري [۵, ۱۵]
a (au)	۵/۸۲۴	۵/۸۰۴	۵/۷۶۵	۵/۸۳۴	۵/۸۲۲
c (au)	۶/۶۴۶	۶/۶۲۳	۶/۵۸۵	۶/۶۵۷	۶/۶۷۷
B(Gpa)	۱۵۰/۴۰۵۰	۱۴۹/۴۲۲۵	۱۳۱/۳۱۶۸	۱۵۰	۱۴۷
$B\phi$	۳/۲۳۱۵	۱/۴۳۲۵	۳	۴	۳/۵
K(m <sup>2</sup> /N)	۶/۶۵×۱۰ <sup>-۱۴</sup>	۶/۷×۱۰ <sup>-۱۴</sup>	۷/۶۲×۱۰ <sup>-۱۴</sup>	۶/۷×۱۰ <sup>-۱۴</sup>	۶/۸۱×۱۰ <sup>-۱۴</sup>
K <sub>a</sub> (m <sup>2</sup> /N)	۳/۵×۱۰ <sup>-۱۴</sup>	۳/۵۳×۱۰ <sup>-۱۴</sup>	۴×۱۰ <sup>-۱۴</sup>	۳/۴×۱۰ <sup>-۱۴</sup>	–
K <sub>c</sub> (m <sup>2</sup> /N)	۶/۹×۱۰ <sup>-۱۴</sup>	۶/۹۵×۱۰ <sup>-۱۴</sup>	۷/۹×۱۰ <sup>-۱۴</sup>	۶/۷×۱۰ <sup>-۱۴</sup>	–
$\frac{c}{a}$	۱/۴۱۱۴	۱/۱۴۱۱۱	۱/۴۲۲۳۸	۱/۱۴۱۰۷	۱/۱۴۶۸۵۷
$E_{\circ}(Ry)$	-۴۵۰/۳۲۴۰۸۱	-۴۴۹/۱۶۹۸۰۸	-۴۴۷/۶۶۰۷۱	–	–

**جدول ۲** تجزیه بار اتم  $MgB_2$  در تقریب‌های مختلف برای ترکیب  $.MgB_2$

Mg	FP-LAPW GGA96 با ثابت نظری	FP-LAPW GGA96 با ثابت تجربی	FP-LAPW GGA91 با ثابت نظری	FP-LAPW GGA91 با ثابت تجربی	FP-LAPW LDA با ثابت نظری	FP-LAPW LDA با ثابت تجربی
بار کل	۱۲	۱۲	۱۲	۱۲	۱۲	۱۲
بار داخل کره مافین-تین	۹/۹۰۲۹۱	۹/۸۵۳۳۹	۹/۷۰۴۸۵	۹/۶۰۷۸۰	۹/۶۰۵۸۳	۹/۷۰۱۸۷
بار مغزه	۸/۷۳۴۳۹	۸/۷۶۹۵۲	۸/۶۳۷۳۲	۸/۵۹۸۹۸	۸/۵۹۷۲۲	۸/۶۸۳۱۷۴
بار ظرفیت	۱/۱۶۸۵۲	۱/۰۸۳۸۷	۱/۰۶۷۵۳	۱/۰۰۰۸۸۲	۱/۰۰۸۶۱۲	۱/۰۱۸۶۹۶۰
بار خارج از کره مافین-تین	۲/۰۹۷۱۴	۲/۱۴۶۶۱۵	۲/۲۹۵۱۵۵	۲/۳۹۲۲۰۵	۲/۳۹۴۱۷۵	۲/۲۹۸۱۳۵
مجموع بار داخل و خارج کره مافین-تین	۱۲/۰۰۰۰۵	۱۲/۰۰۰۰۵	۱۲/۰۰۰۰۵	۱۲/۰۰۰۰۵	۱۲/۰۰۰۰۵	۱۲/۰۰۰۰۵
LM <sub>max</sub>	۷	۷	۷	۷	۷	۷

**جدول ۳** تجزیه بار اتم B در تقریب‌های مختلف برای  $MgB_2$

B	FP-LAPW GGA96 با ثابت نظری	FP-LAPW GGA96 با ثابت تجربی	FP-LAPW GGA91 با ثابت نظری	FP-LAPW GGA91 با ثابت تجربی	FP-LAPW LDA با ثابت نظری	FP-LAPW LDA با ثابت تجربی
بار کل	۵	۵	۵	۵	۵	۵
بار داخل کره مافین-تین	۲/۱۳۸۶۵	۲/۱۲۷۹۶	۲/۰۹۵۸۸	۲/۰۷۴۹۲	۲/۰۷۴۴۹	۲/۰۹۵۲۳
بار مغزه	۱/۸۸۶۲۹	۱/۸۷۶۸۶	۱/۸۴۸۵۷	۱/۸۳۰۰۸	۱/۸۲۹۷۰۰	۱/۸۴۷۹۹۳
بار ظرفیت	۰/۲۵۲۳۶	۰/۲۵۱۹۹	۰/۲۴۷۳۱۴	۰/۲۴۴۸۴۱	۰/۲۴۴۷۹۰	۰/۲۴۷۲۳۷
بار خارج از کره مافین-تین	۲/۸۶۱۳۳	۲/۸۷۲۰۲	۲/۹۰۴۱	۲/۹۲۵۰۶	۲/۹۲۵۴۹	۲/۹۰۴۷۵
مجموع بار داخل و خارج کره مافین-تین	۴/۹۹۹۹۸	۴/۹۹۹۹۸	۴/۹۹۹۹۸	۴/۹۹۹۹۸	۴/۹۹۹۹۸	۴/۹۹۹۹۸

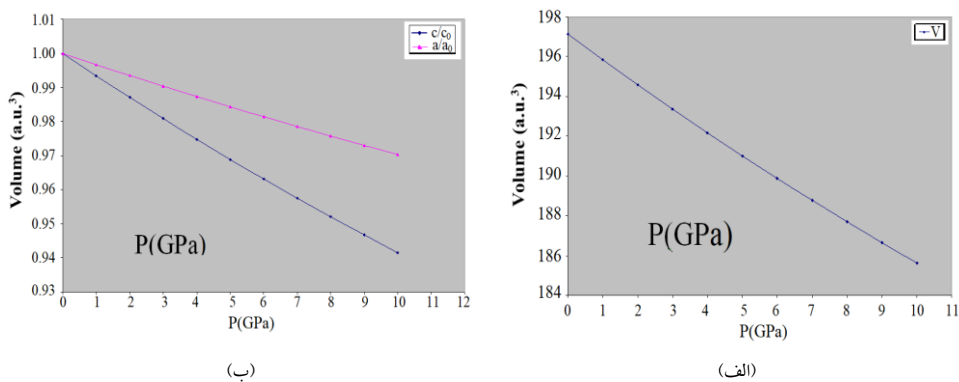
### ب. بررسی تأثیر فشار در ساختار $MgB_2$

برای بررسی اثر تغییرات فشار در ساختار  $MgB_2$  وابستگی حجم به فشار را از طریق رابطه زیر

حساب کردیم [۷، ۱۲]:

$$V(P) = V_0 \left[ \left( B' / B \right) P + 1 \right]^{-1/B'} \quad (2)$$

با توجه به این رابطه تغییرات حجم بر حسب فشار به دست می آید، که در این رابطه حجم اولیه  $V_0$  را با توجه به جدول (۱) در رابطه قرار می دهیم. نمودار وابستگی حجم به فشار در بازه صفر تا ۱۰GPA برای ترکیب  $MgB_2$  در شکل (۲الف) نشان داده شده است. با توجه به نمودار مشخص می شود که حجم یاخته بسیط با افزایش فشار کاهش می یابد. همچنین نمودار تغییرات پارامتر شبکه  $a$  و  $c$  بر حسب فشار در شکل (۲ب) نشان داده شده است. برای مقایسه بهتر هر دو منحنی تغییرات  $c/c_0$  و  $a/a_0$  در یک نمودار رسم شده است ( $a_0$  و  $c_0$  پارامترهای شبکه در فشار صفراند). با توجه به شکل (۲ب) مشاهده می شود که با افزایش فشار، پارامترهای شبکه کاهش می یابند. کاهش پارامتر شبکه  $c$  در حدود  $1/8$  تندتر از پارامتر شبکه  $a$  است. این مقدار در اندازه گیری های تجربی که انجام شده است برابر  $1/4$  به دست آمده است. این اختلاف به خاطر ناهمسانگردی ساختار  $MgB_2$  است و این به دلیل متفاوت بودن نوع پیوندها در جهت های  $a$  و  $c$  است. در راستای محور  $a$  پیوندهای قوی کووالانسی بین اتم های بور وجود دارد و در راستای محور  $c$  پیوندهای ضعیف تر یونی بین اتم های منیزیم و بور وجود دارد.



شکل ۲. الف: نمودار تغییرات حجم سلوول واحد  $MgB_2$  بر حسب فشار، ب: تغییرات پارامترهای شبکه  $MgB_2$  بر حسب فشار.

### ج. تراکم پذیری بلور $MgB_2$

تراکم پذیری به صورت عکس مدول حجمی تعریف می شود و مدول حجمی نمایانگر استحکام بلور است؛ هرچه مدول حجمی بیشتر باشد، استحکام بلور نیز بیشتر است. تراکم پذیری حجمی از رابطه زیر به دست می آید [۵، ۱۶]:

$$K_V = -\frac{1}{V_0} \frac{dV}{dP} \quad (3)$$

در این جا،  $V$  حجم تعادلی در فشار صفر است و مقدار آن را با توجه به جدول (۱) داریم. با توجه به شب منحنی (۲)،  $\frac{dV}{dP}$  را محاسبه و در رابطه (۳) قرار می‌دهیم و از آن جا تراکم‌پذیری حجمی را حساب می‌کنیم. مقدار تراکم‌پذیری حجمی  $10 \times 10^{-3} \text{ Gpa}^{-1}$  به دست آمد که در توافق خوبی با مقدار تجربی محاسبه شده  $10 \times 10^{-3} \text{ Gpa}^{-1}$  است [۱۱]. با توجه به مقدار تراکم‌پذیری حجمی و همچنین زیاد بودن مقدار مدول حجمی، می‌توان نتیجه گرفت که  $MgB_2$  یک جسم سخت است و به راحتی تغییر شکل نمی‌دهد و برای ایجاد تغییر شکل در بلور آن انرژی زیادی لازم است. اکنون، تراکم‌پذیری خطی در راستای محورهای  $a$  و  $c$  را حساب می‌کنیم. تراکم‌پذیری خطی بارابطه زیر داده می‌شود [۷، ۱۳]،

$$K_r = \frac{V_0}{B} \frac{d \ln(r)}{dV} \quad (4)$$

در این رابطه،  $r$  نمایانگر پارامترهای شبکه است. مقدار تراکم‌پذیری خطی در راستای محورهای  $a$  و  $c$  محاسبه شده است. تراکم‌پذیری خطی در راستای محور  $a$ ،  $10 \times 10^{-3} \text{ Gpa}^{-1}$  و در راستای محور  $c$ ،  $10 \times 10^{-3} \text{ Gpa}^{-1}$  به دست آمده است. با توجه به نتایج می‌بینیم که تراکم‌پذیری خطی در راستای محور  $c$  حدود دو برابر تراکم‌پذیری خطی در راستای محور  $a$  است. این نتایج نشان می‌دهد که بلور  $MgB_2$  ناهمسانگرد است و در واقع می‌توان گفت که در ترکیب  $MgB_2$  طول پیوندهای  $B-B$  درون صفحات بور از طول پیوندهای  $Mg-Mg$  و  $B-B$  بین لایه‌ها کمتر است. این به علت آن است که  $MgB_2$  همانند گرافیت دارای ساختار لایه‌ای است و اتم‌های  $Mg$  و  $B$  در لایه‌های متفاوت و متناوب قرار دارند. در صفحه اتم‌های  $B$ ، پیوندهای قوی کووالانسی  $B-B$  برقرار است و بین لایه‌های  $Mg$  و  $B$  پیوندهای ضعیف‌تر یونی برقرار است. طول پیوندهای  $B-B$  از  $Mg-B$  کوتاه‌تر است، بنابراین تراکم‌پذیری درون لایه‌های بور در راستای محور  $a$  کمتر از تراکم‌پذیری بین لایه‌های  $Mg$  و  $B$  در راستای محور  $c$  است. با توجه به اینکه، تراکم‌پذیری نمادی از استحکام بلور است، می‌توان گفت که برای ایجاد تغییر شکل در صفحات بلور در راستای محور  $a$  نسبت به محور  $c$  انرژی بیشتری نیاز است. نتایج محاسبات تراکم‌پذیری حجمی و تراکم‌پذیری خطی در جدول (۱) آورده شده است.

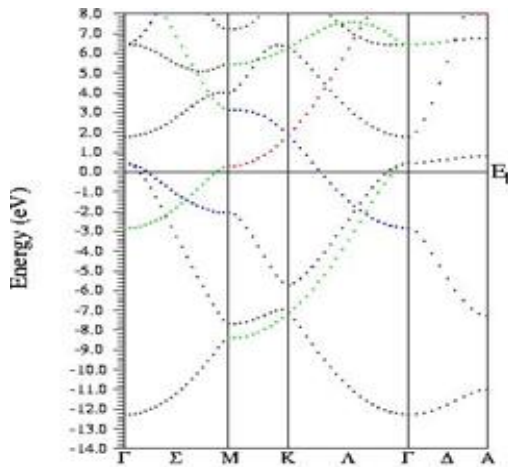
## ۵. محاسبه ساختار الکترونی

### ۱. ساختار نوارهای انرژی

با محاسبه ساختار نوارهای انرژی هر ماده می‌توان به خواص آن ماده پی‌برد. ساختار نوارهای انرژی  $MgB_2$  در شکل (۳) آورده شده است. در این نمودار، مبدأ انرژی در بیشینه نوار ظرفیت است و مقیاس آن بر حسب الکترون‌ولت است. تعداد ۴۰۰ نقطه جهت محاسبات استفاده شده است که با روش خودسازگار به همگرایی رسیده است و همگرایی را بر مبنای انرژی قرارداده‌ایم، که با ۸ چرخه و با اختلاف انرژی از مرتبه  $1/10000$  به همگرایی رسیده است. پارامتر همگرایی،  $RK_{\max}$ ، برابر با ۷ در نظر گرفته شده است. این پارامتر اندازه اتم‌های پایه را در محاسبات تنظیم می‌کند. برای جداسازی الکترون‌های ظرفیت و مغزه از مبنای انرژی کمک گرفته‌ایم و انرژی جدایی بین الکترون‌های ظرفیت و مغزه را برابر  $6\text{ eV}$  ریدبرگ گرفیم و حالت‌های ظرفیت برای اتم منیزیم  $3s^2$  و حالت ظرفیت برای اتم بور  $2p^1$  به دست آمد.

با توجه به شکل (۳) مشاهده می‌شود که شامل الکترون‌های ظرفیتی هستند که در محدوده  $-5/8$  تا  $2$  الکترون‌ولت گستردۀ شده‌اند، این نوارهای انرژی در تعیین خاصیت  $MgB_2$  نقش اساسی ایفا می‌کند. از طرف دیگر با توجه به این که حالت ظرفیت برای اتم منیزیم اریتال  $3s^2$  است و این در بالای سطح فرمی قرار می‌گیرد، نشان‌دهنده نبود الکترون در ترازهای لایه آخر اتم منیزیم است و نشان می‌دهد که اتم منیزیم در ترکیب  $MgB_2$  کاملاً یونیده است و الکترون‌های خود را به لایه‌های اتم بور می‌دهد. چنانچه ساختار نوارهای انرژی این ترکیب را بدون اتم منیزیم رسم کنیم تغییر اساسی در ساختار رخ نمی‌دهد و نشان می‌دهد که الکترون‌های اتم منیزیم فقط یک جایه‌جایی در  $E_F$  ایجاد می‌کنند، که می‌توان آن را از چگالی حالت‌های جزئی هم به دست آورد. اما اتم بور با توجه به این که اریتال  $p$  آن در حالت ظرفیت نقش مهمی در خواص  $MgB_2$  بازی  $MgB_2$  می‌کند مشاهده می‌شود که پیوندهای  $\sigma$  اتم‌های بور نقش اساسی در ابررسانایی ترکیب  $MgB_2$  دارد و خاصیت فلزی ترکیب را می‌توان به پیوندهای  $\pi$  اتم بور نسبت داد و سهم انرژی بالا از نوار ظرفیت مربوط به حالت‌های  $2p$  اتم بور است. ساختار نوارهای انرژی دارای یک تبهگنی دوگانه است. نوارهای تقریباً پهن، بالای  $E_F$  قرار دارند و به نظر می‌رسد که ماهیت نوارهای پهن نقش  $E_F$  مهمی را در ابررسانایی  $MgB_2$  بازی می‌کنند. قله این نوارهای پهن در حدود  $1/3\text{ eV}$  بالای  $E_F$  قرار دارد. می‌توان مشاهده کرد که دو نوع نوار وجود دارد که عبارتند از نوارهای  $\sigma$  و  $\pi$  که هر دوی آن‌ها دارای مشارکتی از اتم بور هستند. همانگونه که شکل (۳) نشان می‌دهد سطح انرژی فرمی، نوارهای انرژی متفاوتی را قطع می‌کند که این دلالت بر خاصیت فلزی ماده دارد. محاسبات

ساختار نواری نشان می‌دهد که این ترکیب کاملاً یونی نیست، بلکه دارای پیوند کووالانسی قوی B-B بین اتم‌های بور نیز می‌شود.

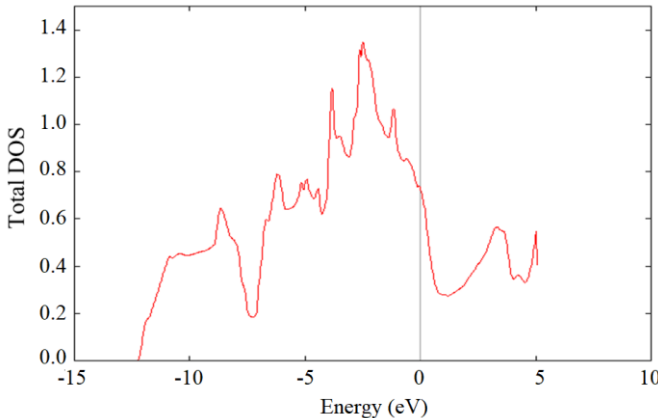


شکل ۳ نوارهای انرژی ترکیب  $MgB_2$ .

## ۲. چگالی حالت‌ها

توزیع الکترون در طیف انرژی با چگالی حالت‌ها توصیف می‌شود. طیف چگالی حالت‌های کل در بازه  $10 \text{ eV}$  تا  $15 \text{ eV}$  در شکل (۴) رسم شده است. در نمودار چگالی حالت‌ها، مقیاس انرژی صفر نشان‌دهنده مکان تراز فرمی است که با خط‌چین عمودی نشان داده شده است. مشارکت عمدۀ در بالای نوار ظرفیت مربوط به اریتال‌های p اتم بور و در ته نوار ظرفیت مشارکت عمدۀ مربوط به اریتال‌های s اتم بور است. در حالی که در ته نوار رسانش مشارکت عمدۀ مربوط به اریتال‌های Mg اتم B با حالت‌های p اتم در نوار ظرفیت هیبرید می‌شود، که نشان می‌دهد که  $sp^2$  در صفحات ab به طور قوی هیبرید می‌شوند. مشارکت اریتال‌های Mg در نوار ظرفیت ناچیز است و عمدتاً در حالت‌های غیر اشغال منعکس می‌شوند. این الکترون‌های Mg به لایه‌های بور داده می‌شود. الکترون‌های  $2s$  اتم بور به خوبی جایگزینه‌اند و مشارکت آن‌ها در  $E_F$  خیلی ناچیز است و به نظر می‌رسد که پیوندهای p-p و σ اثر مهمی در ابررسانایی دارند و بیشینه چگالی حالت‌های انرژی از ۵- تا صفر الکترون‌ولت گستردۀ شده‌اند. چگالی حالت‌ها در سطح فرمی،  $N(E_F) = 0.7 \text{ State/eV}$  است و با

توجه به مشارکت عمده اتم بور می توان به نقش اساسی اتم های بور در تعیین خواص الکترونی  $MgB_2$  پی برد.

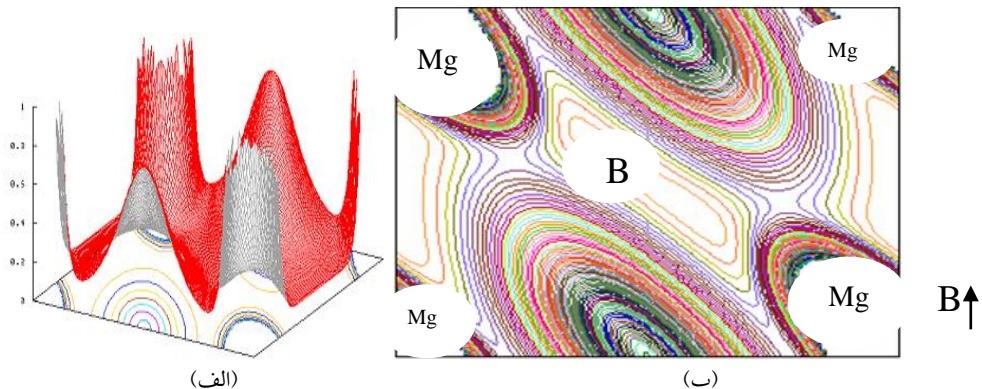


شکل ۴ منحنی چگالی حالت های انرژی کل  $MgB_2$ .

### ۳. چگالی ابر الکترونی

چگالی ابر الکترونی در واقع نحوه توزیع بار در اطراف اتم ها را نشان می دهد. با توجه به میزان توزیع بار در اطراف اتم ها می توان نوع پیوند بین آن ها را تشخیص داد. تراکم زیاد الکترون بین دو اتم نشان دهنده قوی بودن پیوند بین آن هاست و تراکم کمتر الکترون بین دو اتم پیوند ضعیف تری را بین آن ها نشان می دهد. نمودار چگالی ابر الکترونی نشان دهنده تراکم الکترون ها در مکان های مختلف است و از روی آن می توان فهمید که در چه نقاطی تراکم الکترون بیشتر و در چه نقاطی کمتر است. چگالی ابر الکترونی برای ترکیب  $MgB_2$  در صفحه (۱۱۰) در شکل (۵) نشان داده است. از روی شکل مشخص است که تراکم الکترون کمی بین اتم های منیزیم و بور وجود دارد. علاوه بر این، در اطراف اتم منیزیم نیز توزیع بار کمی وجود دارد. توزیع بار در اطراف اتم های منیزیم در ترکیب  $MgB_2$  خیلی کمتر از توزیع بار حالت طبیعی اتم منیزیم است و این می تواند به دلیل آن باشد که اتم های منیزیم در این ترکیب الکترون های لایه ظرفیت خود را به اتم های بور می دهند، ولیکن چگالی الکترونی در اطراف اتم های بور بیشتر است و این به همان دلیل است که اتم منیزیم، الکترون های خود را به اتم بور می دهد. علاوه بر این، انباستگی الکترون بین اتم های بور زیاد است ولی بین اتم های منیزیم و بور خیلی کمتر است و می توان فهمید که بین اتم های بور پیوند قوی کووالانسی  $B - B$  برقرار است و بین اتم های منیزیم و بور پیوند یونی ضعیف تر برقرار است که نشان دهنده ناهمسانگردی شدید ترکیب  $MgB_2$  است و تأیید کننده نتایجی است که از

بررسی چگالی حالت‌های جزئی ترکیب  $MgB_2$  به دست آمده است. علاوه بر این، توزیع همگن بار در اطراف اتم‌های منیزیم نشان‌دهنده آن است که بین اتم‌های منیزیم پیوند فلزی وجود دارد. بنابراین، می‌توان نتیجه گرفت که این ترکیب نمونه‌ای از جامد با پیوندهای مختلف است.



شکل ۵ (الف) چگالی حالت‌های الکترونی ترکیب  $MgB_2$  در صفحه (۱۱۰)، (ب) در سه بعد.

#### ۴. نتیجه‌گیری

محاسبات با استفاده از روش امواج تخت بهبود یافته خطی با پتانسیل کامل در چارچوب نظریه تابعی چگالی انجام شده است. نتایج محاسبات ساختار الکترونی بیانگر یک تبهگنی دوگانه در بالای تراز فرمی است که نقش مهمی در خاصیت ابررسانایی بازی می‌کند.

همچنین، تراکم‌پذیری خطی در راستای  $C$  حدود دو برابر تراکم‌پذیری در راستای  $a$  است، که نشان‌دهنده ناهمسانگردی ترکیب  $MgB_2$  است. علاوه بر این، چگالی حالت‌های الکترونی بیانگر وجود پیوند قوی کووالانسی بین  $B$ - $B$  و یونی ضعیف بین اتم‌های منیزیم و بور است که نشان‌دهنده ناهمسانگردی شدید ترکیب  $MgB_2$  است. نتایج پیش‌بینی می‌کند که افزایش ثابت شبکه در طول محور  $C$ ، افزایش چگالی حالت‌ها را در تراز فرمی در پی دارد. با توجه به مقدار تراکم‌پذیری حجمی و همچنین زیاد بودن مقدار مدول حجمی، می‌توان نتیجه گرفت که  $MgB_2$  یک جسم سخت است و به راحتی تغییر شکل نمی‌دهد و برای ایجاد تغییر شکل در بلور آن انرژی زیادی لازم دارد. علاوه بر این، توزیع همگن بار در اطراف اتم‌های منیزیم نشان‌دهنده آن است که بین اتم‌های منیزیم پیوند فلزی وجود دارد. بنابراین، می‌توان نتیجه گرفت که این ترکیب نمونه‌ای از جامد با پیوندهای مختلف است. نتایج سازگاری خوبی با نتایج تجربی و نظری به دست آمده از روش‌های دیگر دارد.

## ۵. تقدیر و تشکر

این تحقیق توسط دانشگاه شهید چمران اهواز ایران [SCU.SP98.490] پشتیبانی شد.

## منابع

- [1] Buzea D. and Yamashita T, "Review of superconducting properties of  $MgB_2$ ", *Supercond. Sci. Technol.* 14, R115 (2001).
- [2] Jones M E and Marsh R E, "The Preparation and Structure of Magnesium Boride,  $MgB_2$ ", *J. Am. Chem. Soc.* 76, 1434-1436 (1954).
- [3] Kortus J, Mazin I I et al., "Superconductivity of Metallic Boron in  $MgB_2$ ", *Phys. Rev. Lett.* 8, 4656-4659 (2001).
- [4] Kong Y, Dolgov O V et al., "Electron-phonon interaction in the normal and superconducting states of  $MgB_2$ " *Phys. Rev. B* 64, 020501 (R) (2001).
- [5] Demeter T and Aristides M, "Ab Initio Investigation of the Electronic and Geometric Structure of Magnesium Diboride,  $MgB_2$ ", *J. Phys. Chem. A* 109, 47:10663-10674 (2005).
- [6] Alexander S S and Boris I L, "Structure and properties of  $(AlB_2)_n$  and  $(MgB_2)_n$  ( $n = 1, \dots, 10$ ) clusters", *The European Physical Journal D* 73, 14 (2019).
- [7] Islam A K M A, Islam F N and Kabir S, "Ab initio investigation of mechanical behaviour of  $MgB_2$  superconductor under pressure", *J. Phys: Cond. Mat* 13, L641 (2001).
- [8] Vinod K, Varghese N and Syamaprasad U, "Superconductivity of  $MgB_2$  in the BCS framework with emphasis on extrinsic effects on critical temperature", *Superconductor Science and Technology* 20, R31, (2007).
- [9] Boeri L, "Understanding Novel Superconductors with Ab Initio Calculations", arXiv: 1903.05708 (2019).
- [10] Blaha P, and Schwarz K, *Wien2k*, Vienna university of Technology Austria (2009).
- [11] Perdew J P, Burke K, Ernzerhof M, "Generalized Gradient Approximation Made Simple", *Phys. Rev. Lett* 77, 3865-3868 (1996).
- [12] Loa I, Kunc K, and Syassen K, "Crystal structure and lattice dynamics of  $AlB_2$  under pressure and implications for  $MgB_2$ ", *Phys. Rev. B* 66, 134101 (2002).
- [13] Prassides K, Iwasa Y, Ito T et al., "Compressibility of the  $MgB_2$  superconductor", *Phys. Rev. B* 64, 012509 (2001).
- [14] Singh P, "Role of Boron p-Electrons and Holes in Superconducting  $MgB_2$ , and Other Diborides: A Fully Relaxed, Full-Potential Electronic Structure Study", *Phys. Rev. Lett* 87, 087004-087008 (2001).
- [15] Voget T, Schneider G et al., "Compressibility and electronic structure of  $MgB_2$  up to 8GPa", *Phys. Rev. B* 63, 220505 (2001).
- [16] Jie T, Lu-chang Qin et al., "Lattice parameter and  $T_c$  dependence of sintered  $MgB_2$  superconductor on hydrostatic pressure", *Phys. Rev. B* 64, 132509-4 (2001).